

北海道大学 正員 能明純雄
苫小牧高専 正員 ○澤田知之

1. まえがき

本稿は、橋梁等の基礎構造として、用いられている鋼管を円形に建て込んだ杭筒基礎について、すでに発表した解析方法¹⁾を改良して、構造物に拘り力が作用した場合の解析を行なったものである。

この場合は構造の接線方向トルクが作用するから構造物に対し、接線方向の変位のみで生じる。本解析において、ヒンジは、鋼管の直径の両端に付いているものとし、杭頭は、平面保持のまま変位すると仮定する。よって載荷力による杭の各々の変位を節点で取り、軸周りの回転変位を拘りモーメントの均一化から求める。拘りによる杭の軸ひずみは、拘りモーメントを生ずると考えられるから、よって基本微分方程式は、杭要素の変位と節点力の関係を、接合点で取る方法により求め、鋼管杭の軸方向に、有限フーリエ変換、それと直交平面上で、和分変換を行ない、境界条件を満足するように、境界値を定めて、必要とする、変位と断面力を得る。

2. 一般式の誘導

今、図-1、図-2よりの変位を次の如くに置く。

$$U_r(x) = \sum_i \delta(x) \sin \frac{2\pi i}{n} r \quad (1)$$

$$V_r(x) = \sum_i \delta(x) \cos \frac{2\pi i}{n} r \quad (2)$$

$$U_{r-\frac{1}{2}}(x) = \sum_i \delta(x) \sin \frac{2\pi i}{n} (r - \frac{1}{2}) \quad (3)$$

$$V_{r-\frac{1}{2}}(x) = \sum_i \delta(x) \cos \frac{2\pi i}{n} (r - \frac{1}{2}) \quad (4)$$

曲げより：

$$EI \cdot U_{r-\frac{1}{2}}(x) = P_r, EI \cdot V_{r-\frac{1}{2}}(x) = 0 \quad (5)$$

又、拘りより

$$\sum_i P_r \cdot R + \sum_i M_r T + k \cdot U_{r-\frac{1}{2}}(x) = T \quad (6)$$

$$M_r T = 2 \cdot a \cdot P_r, k \rightarrow \text{地盤の} \frac{\text{たわみ剛性}}{\text{たわみ数}}$$

$$\therefore n \cdot EI R \ddot{\delta}(x) - \frac{n G J}{R} \ddot{\delta}'(x) + k \cdot \delta(x) = T \quad (7)$$

この基本式に x 方向(軸方向)に有限 Fourier-Sine 変換を施す。x=0(天端)で自由端、x=l(根元)で固定端とし、整理すると、(8) の如く示される。

尚 $\ddot{\delta}(x) = \int_0^l \delta(x) \sin \frac{m\pi}{l} x, \ddot{T} = \int_0^l T \sin \frac{m\pi}{l} x, l: \text{杭長}, n: \text{杭数}, EI: \text{曲げ剛性}, GJ: \text{拘り剛性}, R: \text{基礎構造の半径}, a: \text{鋼管の半径}$

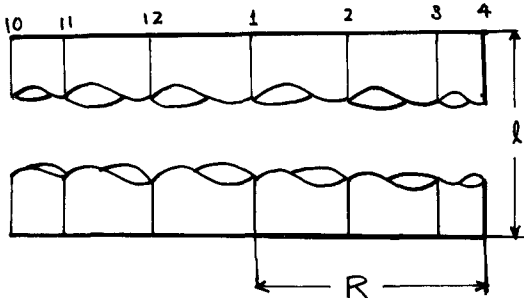


図-1 (軸方向断面図)

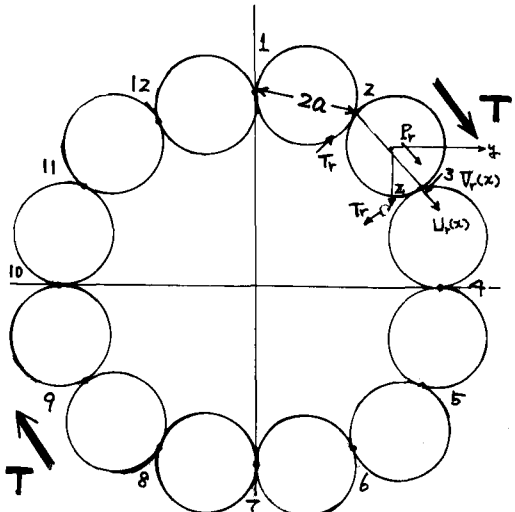


図-2 (軸直角方向断面図)

$$\left\{ n \cdot EIR \left(\frac{l}{R} \right)^4 + \frac{nGJ}{R} \left(\frac{l}{R} \right)^2 \cdot m^2 + k \right\} \hat{\delta}(x) = n \cdot EIR \left(\frac{l}{R} \right) \cdot m(-1)^m \cdot \ddot{\delta}(l) + \left\{ n \cdot EIR \left(\frac{l}{R} \right)^3 \cdot m^3 + \frac{nGJ}{R} \left(\frac{l}{R} \right) \cdot m \right\} \delta(0)$$

+ $\hat{\tau}$ ————— (8)

よって (8) は 有限 Fourier Sine 逆変換を施すと (9) と表すことができる

$$\begin{aligned} \delta(x) &= \frac{1}{2\alpha\beta} \left(\frac{l}{R} \right)^2 \cdot P(1-\bar{z}) \cdot \ddot{\delta}(l) + \left[Q(\bar{z}) + \frac{1}{2\alpha\beta} \left\{ \frac{GJ}{EIR^2} \left(\frac{l}{R} \right)^2 - (\alpha^2 + \beta^2) \right\} \cdot P(\bar{z}) \right] \cdot \delta(0) \\ &\quad + \frac{1}{2(\alpha^2 + \beta^2)} \left(\frac{l}{R} \right)^3 \frac{1}{2\alpha\beta} \frac{1}{n \cdot EIR} \left\{ \alpha \cdot \overline{\text{正}}(\bar{z}, \bar{z}_1) + \beta \cdot \overline{\text{正}}(\bar{z}, \bar{z}_1) \right\} \end{aligned}$$

$$= \therefore A = \sqrt{\frac{K}{n \cdot EIR} \left(\frac{l}{R} \right)^4} \quad B = \frac{GJ}{2 \cdot EIR^2} \left(\frac{l}{R} \right)^2 \quad \alpha = \sqrt{\frac{A+B}{2}} \quad \beta = \sqrt{\frac{A-B}{2}}$$

$$\begin{aligned} \bar{z} &= \frac{x}{l} \\ \bar{z}_1 &= \frac{x_1}{l} \end{aligned}$$

$$P(\bar{z}) = \frac{\sinh \alpha \bar{z} \cdot \sin \beta \bar{z} - \sinh \beta \bar{z} \cdot \sin \alpha \bar{z}}{\cosh 2\alpha \bar{z} - \cos 2\beta \bar{z}} \quad (10)$$

$$Q(\bar{z}) = \frac{\cosh \alpha \bar{z} \cdot \cos \beta \bar{z} - \cosh \beta \bar{z} \cdot \cos \alpha \bar{z}}{\cosh 2\alpha \bar{z} - \cos 2\beta \bar{z}} \quad (11)$$

$$\bar{z} > \bar{z}_1$$

△ ————— (12)

$$\begin{aligned} \overline{\text{正}}(\bar{z}, \bar{z}_1) &= \frac{1}{\cosh 2\alpha \bar{z} - \cos 2\beta \bar{z}} \left\{ \sinh \alpha \bar{z} \cdot \cos \beta \bar{z} - \sinh \beta \bar{z} \cdot \cos \alpha \bar{z} \right. \\ &\quad \left. + \sinh \alpha \bar{z}_1 \cdot \cos \beta \bar{z}_1 - \sinh \beta \bar{z}_1 \cdot \cos \alpha \bar{z}_1 \right\} \end{aligned}$$

$$\begin{aligned} \overline{\text{正}}(\bar{z}, \bar{z}_1) &= \frac{1}{\cosh 2\alpha \bar{z} - \cos 2\beta \bar{z}} \left\{ \cosh \alpha \bar{z} \cdot \sin \beta \bar{z} - \cosh \beta \bar{z} \cdot \sin \alpha \bar{z} \right. \\ &\quad \left. + \cosh \alpha \bar{z}_1 \cdot \sin \beta \bar{z}_1 - \cosh \beta \bar{z}_1 \cdot \sin \alpha \bar{z}_1 \right\} \end{aligned}$$

——— (13)

3. 境界条件式

剪断力のり合いと、たわみ角がないといふことより
(at $x=0$) (at $x=l$)

$$n \cdot EI \cdot \sum_{r=\frac{1}{2}}^{\infty} R - n \cdot \frac{GJ}{R} \sum_{r=\frac{1}{2}}^{\infty} r = 0 \quad (14)$$

$$\dot{\delta}(l) = 0 \quad (15)$$

以上の式より境界値を求める。よって (16) より変位を知る

$$\sum_{r=\frac{1}{2}}^{n-1} \delta(x_r) \sin \frac{2\pi r}{n} (r - \frac{1}{2}) = 0 \quad (16)$$

※ 参考文献

- 1) 能町・澤田：鋼管杭による井筒基礎の応力解析について（日本学会北海道支部論文報告集）（第32号）
- 2) 能町・澤田：鋼管杭によるセル型基礎の応力解析について（第12回道路会議一般論文集）
- 3) S.P Timoshenko: Theory of plates and shells

4. 数値計算例

今、鋼管中 60.62cm を

$$N=12 \text{ 本}, l=11m$$

$$k=2.0 \text{ kN/cm の場合}$$

の数値計算例を

示す。

尚他の結果は当日発表

する予定である。

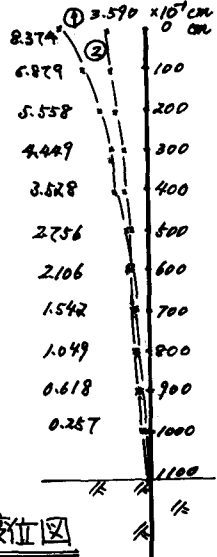
計算には、北海道大学

大型計算機センターの

FACOM-230-75 と

荏原 HITAC-8850

を使用した。



変位図

$$\textcircled{1} \rightarrow k=2.0 \text{ kN/cm}$$

$$\textcircled{2} \rightarrow k=2.0 \text{ kN/cm}$$